

مطالعه عددی جابه‌جایی آزاد نانو سیال در یک محفظه مربعی با وجود اجزای سرد و گرم روی دیوارهای عمودی آن

قنبعلی شیخ زاده^{*} و مصطفی محمودی^{**}

گروه مهندسی مکانیک، دانشکده مهندسی، دانشگاه کاشان

(دریافت مقاله: ۱۳۸۹/۴/۱۵ - دریافت نسخه نهایی: ۱۳۸۹/۱۱/۲۰)

- چکیده -

/

%

/

: واژگان کلیدی

Numerical Study of Natural Convection of Nanofluid in a Square Cavity with Hot and Cold Elements on its Vertical Walls

Gh. A. Sheikhzadeh and M. Mahmoodi

Department of Mechanical Engineering, Faculty of Engineering, University of Kashan

Abstract: *Free convection of Ag-water nanofluid in a square cavity with two or three pairs of hot and cold discrete elements on its side walls is simulated and the effects of number and arrangement of thermal elements and volume fraction of*

** - دانشجوی کارشناسی ارشد

* - دانشیار

nanoparticles on the fluid flow and heat transfer are studied. Volume fraction of nanoparticles ranges from 0 to 0.2. Several different arrangements of the thermal elements are considered in a manner that for each case, numbers of vortexes formed inside the cavity are different. The obtained results show that by increasing the Rayleigh number, the number of vortexes, and the volume fraction of the nanoparticles, the rate of heat transfer is increased. Also it is observed that when the number of formed vortexes inside the cavity increases, the effect of increasing the volume fraction of the nanoparticles on the heat transfer rate is enhanced. When six vortexes are formed in the cavity at $Ra=10^6$, by increasing the volume fraction of nanoparticles from 0 to 0.2, the average Nusselt number increases about 60% with respect to the base fluid, while for the case of four vortexes, the increasing is about 35%. Moreover it is found that at all the considered Rayleigh numbers, the average Nusselt number is more sensitive to the nanoparticles volume fraction than to the number of formed vortexes..

Keywords: Numerical analysis, Free convection, Square cavity, Nanofluid, Thermal elements.

درصد افزایش عدد ناسلت نانوسیال نسبت به سیال خالص (بدون بعد)	Δ	گرمای مخصوص در فشار ثابت (۶) ($\text{kJ kg}^{-1} \text{K}^{-1}$)	Cp
ضریب نفوذ گرمایی (۴) ($\text{m}^2 \text{s}^{-1}$)	α	شتاب جاذبه (۳) (m s^{-2})	g
ضریب انبساط گرمایی (۳) (K^{-1})	β	ارتفاع محفظه (۱۱) (m)	H
کسر حجمی نانوذرات (۵)	φ	ضریب هدایت گرمایی (۱۰) ($\text{W m}^{-1} \text{K}^{-1}$)	k
ویسکوزیته سینماتیکی (۱۱) ($\text{m}^2 \text{s}^{-1}$)	v	فشار با بعد (۲) (pa)	p
		فشار بدون بعد (۲)	P
		دمای با بعد (K) (۳)	T
مقدار متوسط (۱۶)	avg	سرعت با بعد در راستای محور x (۱) (m s^{-1})	u
سرد (۳)	c	سرعت با بعد در راستای محور y (۱) (m s^{-1})	v
گرم (۱۱)	h	سرعت بدون بعد در راستای محور x (۱۱)	U
نانوسیال (۲)	nf	سرعت بدون بعد در راستای محور y (۱۱)	V
سیال پایه (۵)	f	مختصات با بعد (m)	x,y
نанوذرات (۵)	p	مختصات بدون بعد	X,Y

زیادی به افزایش نرخ انتقال گرمای جابه‌جایی آزاد در محفظه‌ها با وجود چشممه‌های گرمایی مجزا روی دیواره‌های آن جلب شده است. مروری بر مطالعات انجام شده پیرامون این موضوع نشان می‌دهد که اندازه و محل قرارگیری اجزای گرمایی، هر دو بر نرخ انتقال گرمای تاثیر گذارند [۸-۱۴]. دنگ [۱۵] ایجاد الگوهای چند گردابه‌ای جابه‌جایی آزاد در یک محفظه را بررسی کرده و نشان داده است که نرخ کلی انتقال گرمای رابطه مستقیم با تعداد گردابه‌های تشکیل شده دارد. وی نتیجه گرفته

۱- مقدمه

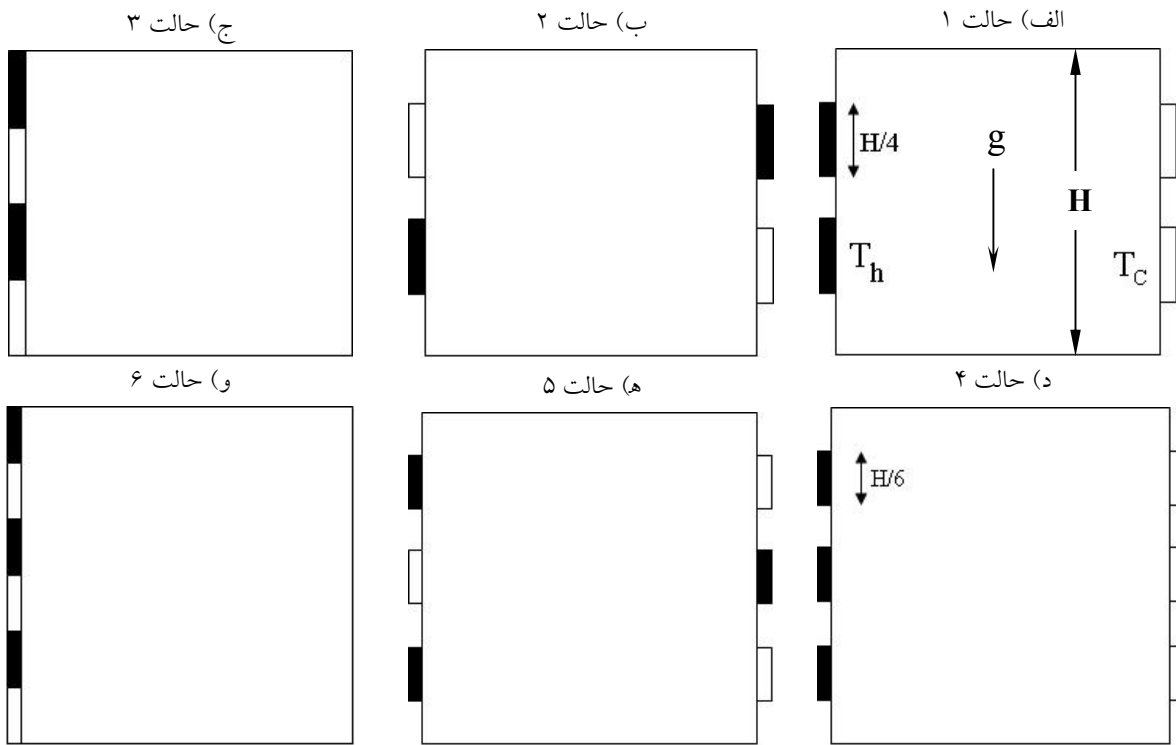
جابه‌جایی آزاد به دلیل کاربرد وسیع در سیستمهای مهندسی از قبیل سرمایش قطعات الکترونیکی، تهویه اتاقها، ایزوله‌سازی راکتورها، کلکتورهای خورشیدی، سیستمهای اطفای حریق و بسیاری سیستمهای دیگر، از پدیده‌های مهم محسوب می‌شود [۲۱]. تاکنون مطالعات عددي و تجربی بسیاری در مورد جنبه‌های مختلف کاربرد انتقال گرمای جابه‌جایی آزاد در محفظه‌ها صورت گرفته است [۳-۷]. همچنین توجه محققان

می‌یابد. ازتاب و ابوندا [۲۲] با انجام شبیه‌سازی عددی، جریان سیال و انتقال گرمای جابه‌جایی آزاد در محفظه‌های مستطیلی حاوی نانوسيال را مورد بررسی قرار دادند. محفظه‌های بررسی شده توسط آنها دارای یک دیواره عمودی سرد و یک جزء سرد قرار گرفته روی دیواره عمودی مقابل بود در حالی که سایر دیواره‌ها عایق بودند. آنها اثر نوع نانوسيال، عدد رایلی، اندازه و موقعیت جزء گرم و نسبت ابعاد محفظه را مورد بررسی قرار دادند. نتایج آنها نشان دهنده افزایش عدد ناسلت با افزایش کسر حجمی نانوذرات و افزایش اندازه جزء سرد در تمام محدوده اعداد رایلی بود. در ادامه مطالعات عددی جابه‌جایی آزاد نانوسيال در محفظه‌ها، اوگوت [۲۳] به بررسی این مسئله در یک حفره با دیواره عمودی سرد دما ثابت و یک جزء سرد شار ثابت روی دیواره عمودی مقابل پرداخت. وی نشان داد که اندازه جزء سرد و زاویه محفظه، پارامترهای کنترل کننده نرخ انتقال گرما است. ابوندا و ازتاب [۲۴] اثر تغییر زاویه بر نرخ انتقال گرما در یک حفره حاوی نانوسيال را به صورت عددی مورد مطالعه قرار دادند و نشان دادند که اثر غلظت نانوذرات بر عدد ناسلت در مقادیر پایین کسر حجمی بیشتر از مقادیر بالای کسر حجمی است. به علاوه نتایج آنها نشان داد با افزایش عدد رایلی، درصد افزایش انتقال گرما با استفاده از نانوسيال، کاهش می‌یابد. جابه‌جایی آزاد نانوسيال در یک محفظه مربعی سردشونده متقارن از طرفین و با وجود یک جزء سرد روی دیواره تحتانی آن، توسط امین الساداتی و قاسمی [۲۵] به صورت عددی مطالعه شده است. آنها اثرات عدد رایلی، اندازه و محل قرارگیری جزء سرد، نوع نانوسيال و کسر حجمی نانوذرات را بررسی کردند و نشان دادند که افزودن نانوذرات باعث بهبود بازده سرمایی به خصوص در اعداد رایلی پایین می‌شود. به علاوه نتایج آنها نشان می‌داد که نوع نانوسيال و طول و اندازه جزء سرد بهشت بر دمای بیشینه سطح جزء سرد تاثیر گذار است. قاسمی و امین الساداتی [۲۶] مسئله جابه‌جایی آزاد در یک محفظه مربعی با دیواره‌های افقی عایق، دیواره چپ سرد و یک المان گرمایی با شار نوسانی روی دیواره راست را

است که یکی از راههای افزایش نرخ انتقال گرمای در یک محفظه، چینش مناسب اجزای سرد و گرم است، به طوری که موجب تشکیل حداقل تعداد گردابه‌های ممکن شود.

از طرفی افزایش نرخ انتقال گرما از طریق بهبود خواص گرمایی سیال عامل در سیستمهای گرمایی اخیراً مورد توجه جدی قرار گرفته است. در گذشته‌ای نه چندان دور، افزایش ضربی هدایت گرمایی مایعات با استفاده از اضافه کردن ذرات فلزی با ابعاد میکرومتر انجام می‌شد [۱۶]. اما ته نشینی سریع این ذرات باعث مسدود شدن مجرایا، فرسایش دیواره‌ها و افت فشار بالا می‌شد و همین امر، کاربرد این تکنولوژی را محدود به فعالیتهای آزمایشگاه می‌کرد. اولین بار چوی [۱۷] عبارت نانوسيال را برای یک سیال با وجود ذرات فلز با ابعادی در حد نانومتر به صورت معلق در آن به کار برد. افزودن نانوذرات به سیال، باعث پدید آمدن نانوسيالی با ضربی هدایت گرمایی بالاتر نسبت به سیال پایه می‌شود و به علاوه مشکلات تهشینی سریع و مسدود شدن مجرای نیز مرتفع خواهد شد [۱۷ و ۱۸].

خانافر و همکاران [۱۹] برای اولین بار انتقال گرمای جابه‌جایی آزاد در یک محفظه مستطیلی حاوی نانوسيال را مورد مطالعه قرار دادند. آنها دریافتند که با افزایش عدد گرافن و درصد حجمی نانوذرات، عدد ناسلت متوسط افزایش می‌یابد. این مقاله به عنوان یک راهگشا باعث شد بدیهی از محققان به بررسی اثر نانوسيال بر نرخ انتقال گرما در محفظه‌های مستطیل شکل اثرا ندازند [۲۰-۲۰]. جو و ترنگ [۲۰] با مطالعه عددی جابه‌جایی آزاد نانوسيال در محفظه‌های مستطیل شکل نشان دادند که افزایش نیروی شناوری و کسر حجمی نانوذرات، هردو بر افزایش نرخ انتقال گرما درون محفظه کمک می‌کنند. سانترا و همکاران [۲۱] مسئله جابه‌جایی آزاد در یک حفره حاوی نانوسيال را با فرض رفتار غیر نیوتونی نانوسيال به روش عددی مورد مطالعه قرار دادند. نتایج آنها نشان می‌داد که در برخی اعداد رایلی خاص، با افزایش کسر حجمی نانوذرات، نرخ انتقال گرما کاهش می‌یابد و در محدوده دیگری از اعداد رایلی با افزایش کسر حجمی نانوذرات، نرخ انتقال گرما افزایش



شکل ۱- طرحواره‌ای از هندسه مورد بررسی

بین 0° تا $0^\circ/2$ انجام می‌شوند.

۲- هندسه مسئله و معادلات حاکم

هندسه مورد نظر مطابق شکل (۱)، یک محفظه مربعی به بعد H حاوی نانوسيال آب-نقره با وجود اجزای گرمایی روی دیوارهای جانبی آن است. خواص ترموفیزیکی سیال آب و فلز نقره در دمای 300°K در جدول (۱) نشان داده شده‌اند. اجزای گرم در دمای T_h و اجزای سرد در دمای T_c قرار دارند ($T_h > T_c$) و دیوارهای افقی و سایر بخش‌های دیوارهای جانبی عایق‌اند. با توجه به تعداد، اندازه، و نحوه چیدمان اجزای گرمایی، شش حالت مختلف در نظر گرفته می‌شود:

حالت ۱: دو عدد جزء گرم به طول $H/4$ روی دیواره چپ و دو عدد جزء سرد روی دیواره راست؛ شکل (۱-الف).

حالت ۲: دو عدد جزء گرم و سرد به طول $H/4$ روی دیواره چپ و دو عدد جزء سرد و گرم روی دیواره راست؛ شکل (۱-ب).

حالت ۳: چهار عدد جزء گرم و سرد به طول $H/4$ به تطور

به روش عددی بررسی کردند. آنها ضمن مشاهده میدان جریان ودمای نوسانی درون محفظه، دریافتند که مکان بهینه المان گرمایی تابعی از عدد رایلی است. در مراجع [۳۰-۲۷] نیز افزایش انتقال گرمایی با افزایش درصد حجمی نانوذرات گزارش شده است. لازم به ذکر است که در مراجع [۲۲-۱۹] و [۲۴، ۲۶] محدوده کسر حجمی نانوذرات از $0^\circ/2$ تا $0^\circ/27$ در نظر گرفته شده است.

در تحقیق حاضر به مطالعه تاثیر افزایش تعداد گردابه‌ها و به کارگیری نانوسيال برای افزایش انتقال گرمایی در یک محفظه مربعی پرداخته و اثر آنها با یکدیگر مقایسه می‌شود. بدین منظور، هندسه‌ای مطابق با مرجع [۱۵] در نظر گرفته می‌شود و جایه‌جایی آزاد نانوسيال در آن بررسی و مطالعه می‌شود. نانوسيال آب-نقره، به دلیل دارا بودن بیشترین ضریب هدایت گرمایی نسبت سایر نانوسيالهای بر پایه آب، انتخاب شده است. شبیه‌سازیهای عددی برای محدوده جریان آرام با اعداد رایلی 10^3 تا 10^6 ، شش حالت مختلف از چیش المانهای سرد و گرم و کسر حجمی نانوذرات

جدول ۱- خواص ترموفیزیکی آب و نقره در دمای ۳۰۰ کلوین [۲۵]

نقره	آب	خواص ترموفیزیکی
۲۳۵	۴۱۷۹	(j/kg k) C _p
۱۰۵۰۰	۹۹۷/۱	(kg/m ³) ρ
۴۲۹	۰/۶۱۳	(w/m k) k
۱/۸۹	۲۱	(k ⁻¹) β × 10 ^{-۵}

ضریب انبساط گرمایی نانوسيال با توجه به خواص سیال پایه و خواص نانوذرات و کسر حجم نانوذرات (φ) با استفاده از معادلات زیر به دست می‌آید [۱۹]:

$$\rho_{nf} = (1 - \varphi)\rho_f + \varphi\rho_p \quad (5)$$

$$\alpha_{nf} = k_{nf} / (\rho c_p)_{nf} \quad (6)$$

$$(\rho c_p)_{nf} = (1 - \varphi)(\rho c_p)_f + \varphi(\rho c_p)_p \quad (7)$$

$$(\rho\beta)_{nf} = (1 - \varphi)(\rho\beta)_f + \varphi(\rho\beta)_p \quad (8)$$

برای محاسبه ویسکوزیته موثر نانوسيال از معادله برینکمن [۳۱] استفاده می‌شود:

$$\mu_{nf} = \frac{\mu_f}{(1 - \varphi)^{2.5}} \quad (9)$$

در معادله (۶)، ضریب هدایت گرمایی نانوسيال با فرض نانوذرات کروی از معادله ماکسول [۳۲] محاسبه می‌شود:

$$k_{nf} = k_f \left[\frac{(k_p + 2k_f) - 2\varphi(k_f - k_p)}{(k_p + 2k_f) + \varphi(k_f - k_p)} \right] \quad (10)$$

مدل‌سازی نانوسيال با استفاده از معادلات فوق توسط مراجع متعددی از جمله مراجع [۱۹-۳۰] انجام شده و مورد تایید قرار گرفته است. با استفاده از پارامترهای بدون بعد زیر می‌توان معادلات حاکم را به صورت بدون بعد بازنویسی کرد.

$$X = \frac{x}{H}, \quad Y = \frac{y}{H}, \quad U = \frac{uH}{\alpha_f},$$

$$V = \frac{vH}{\alpha_f}, \quad P = \frac{pH^2}{\rho_{nf}\alpha_f^2}, \quad \theta = \frac{T - T_c}{T_h - T_c},$$

$$Ra = \frac{g\beta_f H^3 \Delta T}{v_f \alpha_f}, \quad Pr = \frac{v_f}{\alpha_f},$$

معادلات پیوستگی، مومنتوم و انرژی به شکل بدون بعد زیر

تبديل می‌شوند:

متناوب روی دیواره چپ؛ شکل (۱-ج).

حالت ۴: سه عدد جزء گرم به طول ۶/H روی دیواره چپ و سه عدد جزء سرد روی دیواره راست؛ شکل (۱-د).

حالت ۵: دو عدد جزء گرم و یک عدد جزء سرد به طول ۶/H به طور متناوب روی دیواره چپ و دو عدد جزء سرد و یک عدد جزء گرم به طور متناوب روی دیواره راست؛ شکل (۱-ه).

حالت ۶: شش عدد جزء گرم و سرد به طول ۶/H به طور متناوب روی دیواره چپ؛ شکل (۱-و).

در تمام حالتها اجزای سرد هم اندازه اجزای گرم هستند و مجموع طول اجزای گرم یا سرد برابر با ۲/H است.

نانوسيال به صورت سیال تکفاز با خواص معادل یا موثر فرض می‌شود، گرچه این فرض همیشه معترض نیست و هنوز محدوده مشخصی برای صحت آن ارائه نشده است. معادلات حاکم بر جریان دو بعدی جابه‌جایی آزاد آرام و دائم نانوسيال با فرض تک فاز درون محفظه شامل معادلات پیوستگی، مومنتوم و انرژی با استفاده از تقریب بوزینسک به ترتیب عبارت‌اند از:

$$\frac{\partial u}{\partial x} + \frac{\partial v}{\partial y} = 0 \quad (1)$$

$$u \frac{\partial u}{\partial x} + v \frac{\partial v}{\partial y} = \frac{1}{\rho_{nf}} \left[-\frac{\partial p}{\partial x} + \mu_{nf} \left(\frac{\partial^2 u}{\partial x^2} + \frac{\partial^2 u}{\partial y^2} \right) \right] \quad (2)$$

$$u \frac{\partial v}{\partial x} + v \frac{\partial u}{\partial y} = \frac{1}{\rho_{nf}} \left[-\frac{\partial p}{\partial y} + \mu_{nf} \left(\frac{\partial^2 v}{\partial x^2} + \frac{\partial^2 v}{\partial y^2} \right) + (\rho\beta)_{nf} g(T - T_c) \right] \quad (3)$$

$$u \frac{\partial T}{\partial x} + v \frac{\partial T}{\partial y} = \alpha_{nf} \left(\frac{\partial^2 T}{\partial x^2} + \frac{\partial^2 T}{\partial y^2} \right) \quad (4)$$

که در آن چگالی، ضریب نفوذ گرمایی، گرمای مخصوص و

۳- روش عددی

معادلات حاکم به روش حجم محدود و بر پایه یک شبکه نایکنواخت گستته سازی شده‌اند. برای گستته سازی جمله‌های جابه‌جایی از روش پیوندی که ترکیبی از بسط تفاضل مرکزی و بالادست است استفاده شده و بسط مرتبه دوم تفاضل مرکزی نیز برای گستته سازی جمله‌های پخش به کار گرفته شده است. وابستگی بین سرعت و فشار نیز توسط الگوریتم سیمپلر اعمال شده است [۳۳]. در حل دستگاه معادلات گستته شده حاصل، از روش خط به خط به همراه الگوریتم ماتریس سه قطعی استفاده شده است.

برای جستجوی شبکه بهینه و اطمینان از عدم وابستگی نتایج به اندازه شبکه، تغییرات مولفه افقی سرعت و دما روی خط عمودی وسط محفظه برای حالت ۲ و در عدد رایلی 10^6 بررسی شده است. برای جستجوی شبکه بهینه، محفظه حاوی آب خالص با عدد پرانتل ۷ درنظر گرفته شده است. مطابق با شکل (۲)، مقایسه نتایج برای شبکه‌های 20×20 ، 40×40 ، 80×80 و 160×160 نشان می‌دهد که برای شبکه‌های 80×80 و 160×160 نتایج حاصل تغییر چندانی نخواهد کرد. بنابراین از یک شبکه 80×80 برای انجام شبیه‌سازیها استفاده می‌شود.

همچنین برای معتبرسازی کد عددی، دو مسئله در نظر گرفته شده است. مسئله اول، جریان جابه‌جایی آزاد درون یک محفظه مربعی با دیواره چپ گرم، دیواره راست سرد و دیواره‌های افقی عایق مطابق با مرجع [۳۴] است. مسئله دوم، جریان جابه‌جایی آزاد در یک محفظه مربعی با دو جفت جزء سرد و گرم است. اجزای مطابق با هندسه مورد استفاده در مرجع [۱۵] به صورت یک در میان روی دو دیواره عمودی قرار گرفته‌اند. در هر دو مسئله، محفظه‌ها از هوا با عدد پرانتل $7/71$ پر شده‌اند. پارامتر مورد محاسبه در هر دو مسئله مذکور، عدد ناسلت متوسط روی سطوح گرم بوده است. اعداد ناسلت متوسط حاصل از مسئله اول و دوم به ترتیب در شکل‌های (۳) و (۴) ارائه شده است و

$$\frac{\partial U}{\partial X} + \frac{\partial V}{\partial Y} = 0 \quad (12)$$

$$U \frac{\partial U}{\partial X} + V \frac{\partial U}{\partial Y} = - \frac{\partial P}{\partial X} + \frac{v_{nf}}{\alpha_f} \left(\frac{\partial^2 U}{\partial X^2} + \frac{\partial^2 U}{\partial Y^2} \right) \quad (13)$$

$$U \frac{\partial V}{\partial X} + V \frac{\partial V}{\partial Y} = - \frac{\partial P}{\partial Y} + \frac{v_{nf}}{\alpha_f} \left(\frac{\partial^2 V}{\partial X^2} + \frac{\partial^2 V}{\partial Y^2} \right) \quad (14)$$

$$+ \frac{(\rho\beta)_{nf}}{\rho_{nf}\beta_f} Ra \cdot Pr \cdot \theta \\ U \frac{\partial \theta}{\partial X} + V \frac{\partial \theta}{\partial Y} = \frac{\alpha_{nf}}{\alpha_f} \left(\frac{\partial^2 \theta}{\partial X^2} + \frac{\partial^2 \theta}{\partial Y^2} \right) \quad (15)$$

برای شرایط مرزی سرعت روی کلیه دیواره‌ها از شرط مرزی عدم لغزش استفاده می‌شود. برای شرایط مرزی دما، روی اجزای گرم شرط $\theta = 1$ ، روی المانهای سرد شرط $\theta = 0$ و برای بخش‌های عایق، شرط $\partial\theta/\partial n = 0$ در نظر گرفته می‌شود. عدد ناسلت موضعی روی اجزای گرم به صورت زیر تعریف می‌شود [۲۲]:

$$Nu = \frac{hH}{k_f} \quad (16)$$

که در آن ضریب انتقال گرمایی جابه‌جایی موضعی عبارت است از:

$$h = \frac{-k_{nf} \frac{\partial T}{\partial X} \Big|_{x=0}}{T_h - T_c} \quad (17)$$

با جاگذاری h در معادله (۱۶)، عدد ناسلت موضعی بر حسب متغیرهای بدون بعد به شکل زیر به دست می‌آید:

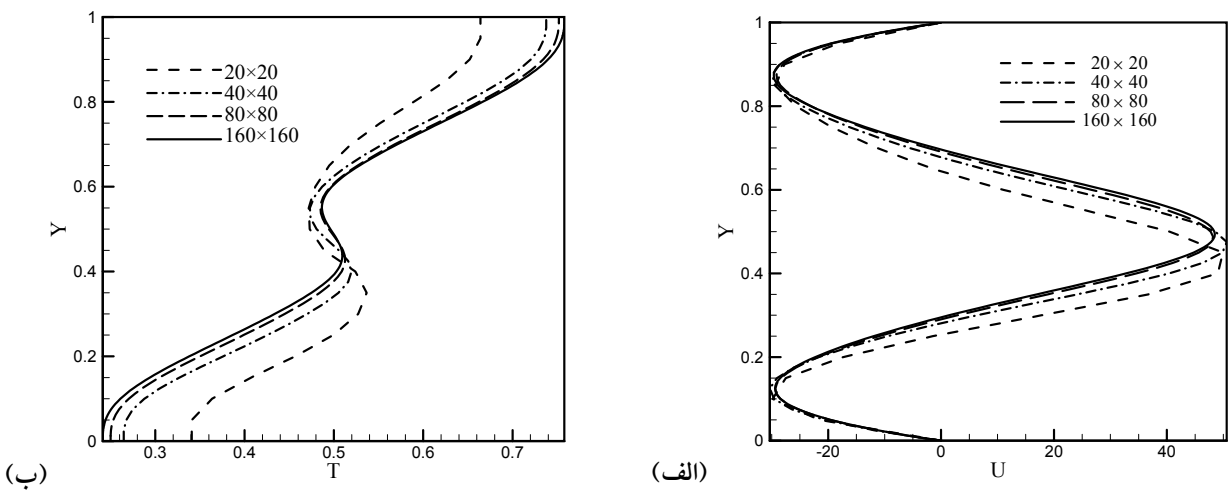
$$Nu = - \left(\frac{k_{nf}}{k_f} \right) \frac{\partial \theta}{\partial X} \quad (18)$$

عدد ناسلت متوسط نیز با انتگرال‌گیری از عدد ناسلت موضعی روی اجزای گرم محاسبه می‌شود.

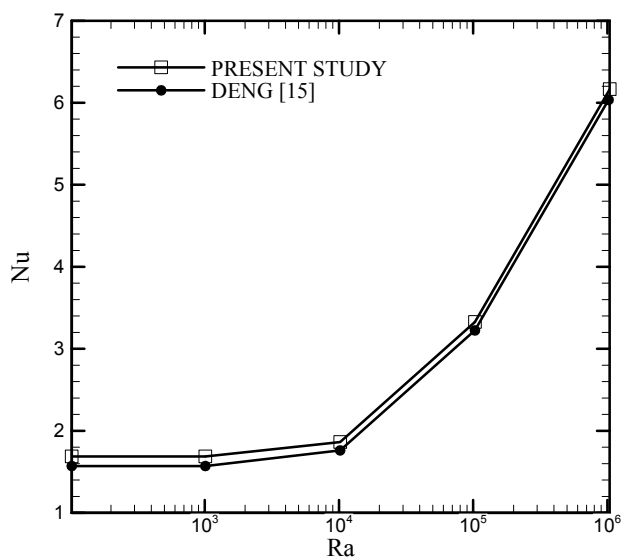
$$Nu_{avg} = 2 \int_{\text{hot surfaces}} Nu(y) dy \quad (19)$$

برای محاسبه درصد افزایش عدد ناسلت مربوط به نانوسیال نسبت به عدد ناسلت سیال پایه، از معادله زیر استفاده می‌شود.

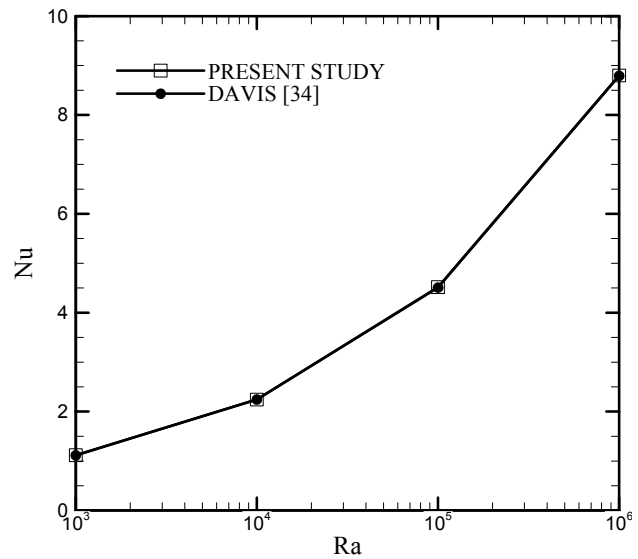
$$\Delta = \frac{Nu_{nf} - Nu_f}{Nu_f} \times 100 \quad (20)$$



شکل ۲- نتایج مربوط به بررسی عدم وابستگی نتایج به اندازه شبکه
(الف) سرعت افقی روی خط مرکزی عمودی (ب) دما روی خط مرکزی عمودی



شکل ۴- مقایسه عدد ناسلت متوسط حاصل از کد عددی موجود و
نتایج مرجع [۱۵] برای معترسازی کد عددی



شکل ۳- مقایسه عدد ناسلت متوسط حاصل از کد عددی موجود و
نتایج مرجع [۳۴] برای معترسازی کد عددی

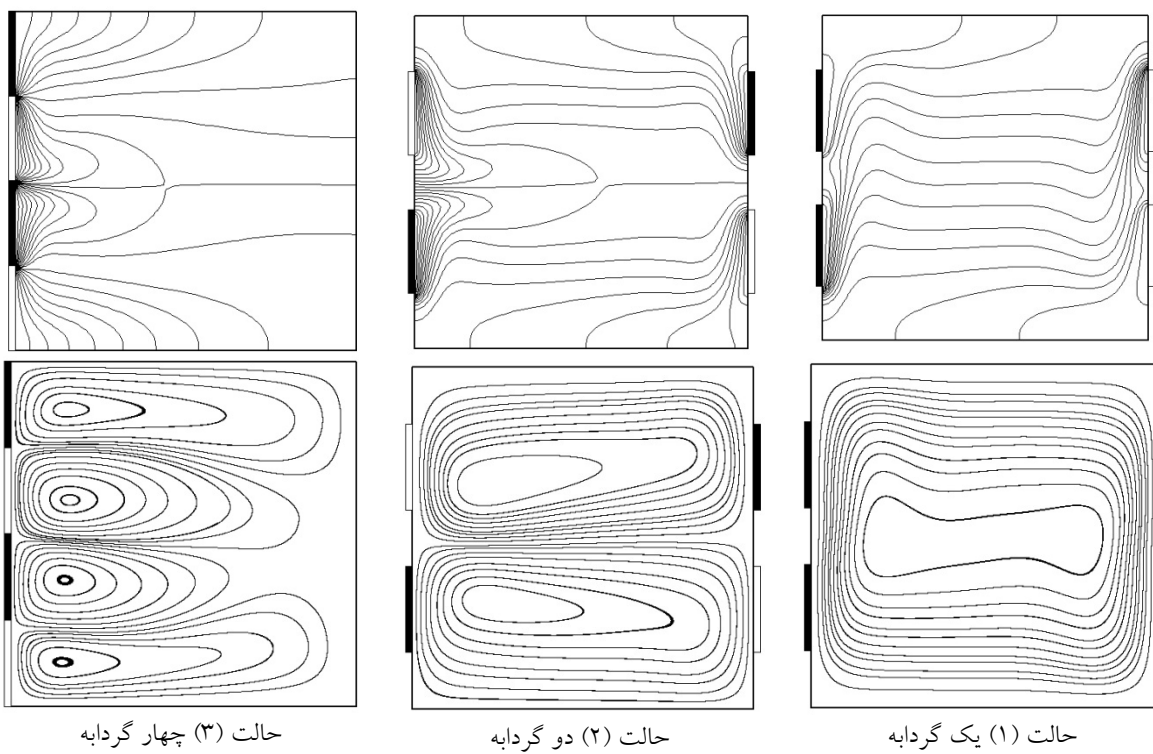
جفت المان گرمایی روی دیواره‌ها قرار گرفته‌اند، طول هر جزء برابر با $H/4$ است. همچنین در حالتهای ۴ تا ۶ که سه جفت جزء گرمایی وجود دارد، طول هر المان برابر با $H/6$ است.

شکل (۵)، خطوط جريان و خطوط دما ثابت برای چينشهای مختلف دو جفت جزء سرد و گرم (حالتهای ۱ تا ۳) در عدد رایلی $Ra=10^6$ و $\varphi=0/2$ را نشان می‌دهد. شکل (۶) نيز همان نتایج را برای چينشهای مختلف سه جفت جزء (حالتهای

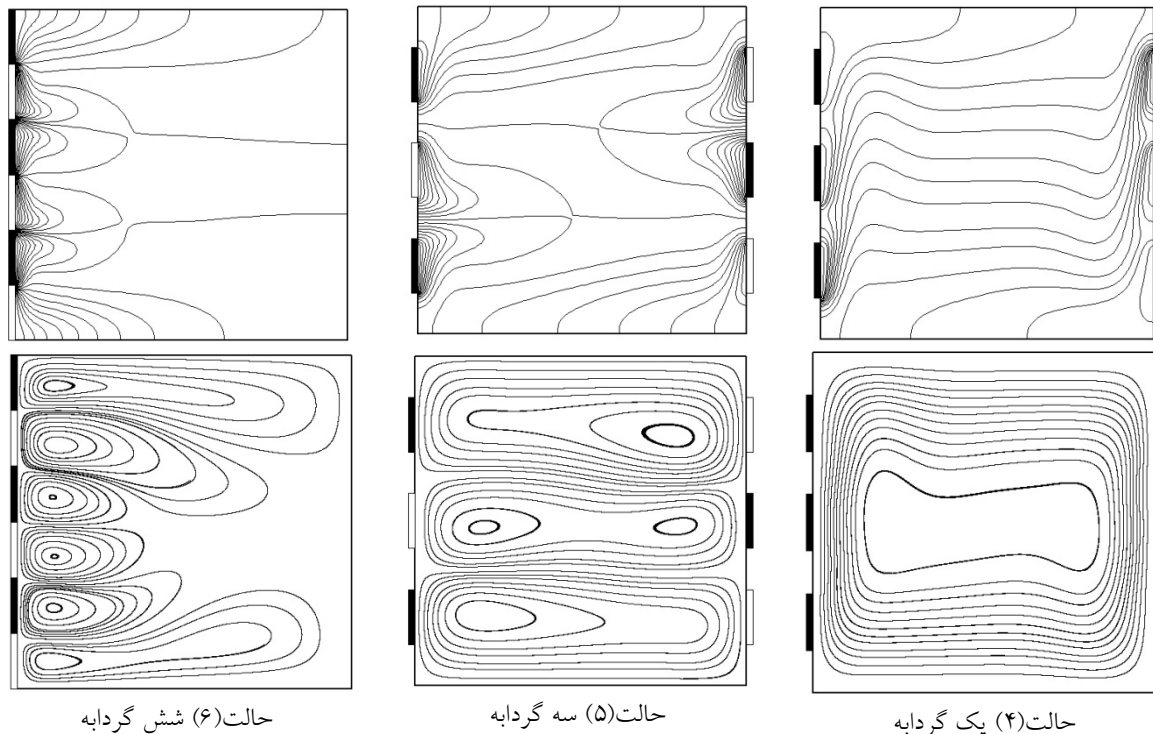
همان‌گونه که مشاهده می‌شود در هر دو مورد، تطابق بسیار خوبی بین نتایج حاضر و نتایج مراجع وجود دارد.

۴- بررسی نتایج

(الف) بررسی اثر چیدمان اجزاء بر تعداد گردابهای تشکیل شده و افزایش انتقال گرما همان‌گونه که پیشتر ذکر شد، در حالتهای ۱ تا ۳ که دو



شکل ۵ - خطوط همدما (بالا) و خطوط جریان (پایین) مربوط به محفظه با
دو جفت جزء سرد و گرم در $\varphi=0/2$ و $Ra=10^6$



شکل ۶ - خطوط همدما (بالا) و خطوط جریان (پایین) مربوط به محفظه با
سه جفت جزء سرد و گرم در $\varphi=0/2$ و $Ra=10^6$

محفظه تشکیل می‌شود و در نتیجه درون محفظه لایه‌بندی گرمایی پدید می‌آید.

در حالت (۵)، اثرات شناوری ناشی از هر جفت اجزای سرد و گرم مقابله هم باعث تشکیل سه گردابه در بالا، وسط و پایین محفوظه می‌شود. در این حالت، به دلیل وجود سه گردابه، اختلاط سیال نسبت به حالتی که دو گردابه تشکیل می‌شود بیشتر است، و درنتیجه لایه‌بندی گرمایی درون محفوظه از بین می‌رود.

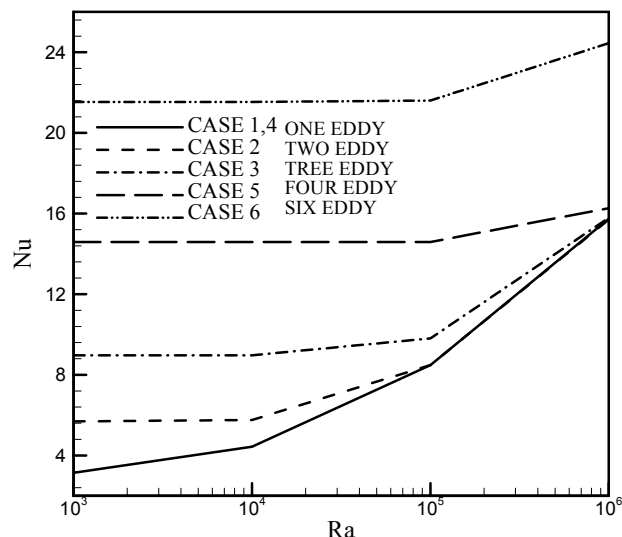
در حالت (۶)، اثرات شناوری اجزای سرد و گرم کاملاً مخالف یکدیگر بوده و در نتیجه شش گردابه درون محفوظه پدید می‌آید. به دلیل اختلاط زیادی که در نتیجه این تعداد گردابه رخ می‌دهد، لایه‌بندی گرمایی کاملاً از بین رفته و بیشتر سیال درون محفوظه دمای متوسطی خواهد داشت. لازم به ذکر است که نتایج حاصل در این بخش مشابه با نتایج مرجع [۱۵] است.

شکل (۷)، تغییرات عدد ناسلت متوسط روی اجزای گرم بر حسب عدد رایلی را برای حالتهای (۱) تا (۶) نشان می‌دهد.

مطابق با این شکل، مشاهده می‌شود که:

(۱) مطابق انتظار، در تمام حالتهای افزایش عدد رایلی نرخ کلی انتقال گرما افزایش می‌یابد. همچنین نحوه چینش اجزای گرمایی تاثیر قابل ملاحظه‌ای بر عدد ناسلت متوسط دارد. مشاهده می‌شود که عدد ناسلت متوسط بیشتر متاثر از چینش اجزای سرد و گرم و تعداد گردابه‌های تشکیل شده است تا تغییرات عدد رایلی.

(۲) با افزایش تعداد گردابه‌ها درون محفوظه، انتقال گرما به میزان قابل ملاحظه‌ای افزایش می‌یابد. در حالت ۶ که شش گردابه تشکیل می‌شود، بیشترین نرخ انتقال گرما رخ می‌دهد. نرخ انتقال گرما در حالت ۵ با وجود چهار گردابه در مرتبه دوم قرار دارد. به همین ترتیب نرخ انتقال گرما در حالتهایی که ۳ تا ۱ گردابه در محفظه تشکیل می‌شود، در رده‌های بعد قرار دارند. در حالتهای (۱) و (۴) که تنها یک گردابه درون محفوظه تشکیل می‌شود، نتایج حاصل بر هم منطبق‌اند. یکی از دلایل افزایش عدد ناسلت با افزایش تعداد گردابه‌ها این است که با تشکیل گردابه‌های بیشتر، لایه مرزی تشکیل



شکل ۷- تأثیر تعداد گردابه‌های تشکیل شده درون محفوظه بر تغییرات عدد ناسلت متوسط بر حسب عدد رایلی به ازای $\varphi=0/2$

۴ تا ۶ نشان می‌دهد.

در حالت (۱)، که اجزای گرم روی دیواره جانبی چپ و اجزای سرد روی دیواره جانبی راست قرار گرفته‌اند، اثرات شناوری اجزای گرم و سرد موافق با یکدیگر بوده، و در نتیجه فقط یک گردابه درون محفوظه تشکیل می‌شود. در این حالت سیال توسط اجزای گرم به بالا رانده شده و سپس توسط اجزای سرد به پایین کشیده می‌شود.

در حالت (۲)، که اجزای گرم و سرد به طور متناوب بر روی دیواره جانبی قرار گرفته‌اند، اثرات شناوری متقابل آنها منجر به تشکیل دو گردابه می‌شود. همان‌گونه که توسط خطوط جريان نشان داده شده است، گردابه بالایی پاد ساعتگرد بوده و گردابه پایینی ساعتگرد است.

در حالت (۳)، که اجزای گرم و سرد به طور متناوب بر روی دیواره جانبی چپ قرار گرفته‌اند، اثرات شناوری آنها کاملاً مخالف یکدیگر بوده و بنابراین چهار گردابه در محفظه پدید می‌آید.

در حالت (۴) نیز مشابه حالت (۱)، اثرات شناوری اجزای گرم و سرد موافق با یکدیگر بوده و در نتیجه یک گردابه درون

می شود، به گونه ای که کانتورهای مربوط به $\varphi=0/05$ بیشترین قرابت با کانتورهای سیال خالص را دارد. با توجه به معادله (۶) با افزایش غلظت نانوذرات، ضریب هدایت گرمایی نانو سیال افزایش می یابد. بنابراین انتظار می رود که در یک عدد رایلی ثابت با افزایش درصد حجمی نانوذرات و بیشتر شدن ضریب هدایت گرمایی، مکانیزم هدایت گرمایی موثرتر شود و در نتیجه آن، قدرت جریان در محفظه که منجر به انتقال گرمای جابه جایی می شود کمتر شود. به عنوان مثال در حالت ۱ که یک گردابه دورن محفظه تشکیل شده است، با افزایش φ سیال قرار گرفته در هسته مرکزی محفظه، حرکت کندتری خواهد داشت. همچنین این پدیده به خوبی در خطوط جریان مربوط به محفظه با چهار و شش گردابه نیز مشاهده می شود. در این حالت با افزایش غلظت حجمی نانوذرات، گردابه های پدید آمده در محفظه نسبت به گردابه های مربوط به سیال پایه کوچکتر شده و مرکز گردابه ها به دیوار نزدیکتر می شوند که نشان دهنده کندتر شدن سرعت جریان سیال و کاهش قدرت جریان است. در حالت (۶) که شش گردابه دورن محفظه تشکیل می شود به دلیل اینکه تقریباً در تمام محدوده اعداد رایلی مکانیزم هدایت حاکمیت دارد، افزایش کسر حجمی نانوذرات تاثیر زیادی بر خطوط همدم ندارد.

شکل (۱۰) تغییرات عدد ناسلت متوسط بر حسب عدد رایلی را به ازای کسرهای حجمی مختلف نانوذرات نشان می دهد. مطابق با شکل مشهود است که در یک عدد رایلی ثابت، عدد ناسلت متوسط با افزایش کسر حجمی نانوذرات افزایش می یابد. همان گونه که پیشتر ذکر شد، افزایش تعداد گردابه ها باعث به تعویق افتادن حاکمیت مکانیزم جابه جایی به اعداد رایلی بالاتر می شود. از طرف دیگر افزایش نانوذرات باعث افزایش ضریب هدایت گرمایی نانو سیال می شود. نتایج مندرج در شکل (۱۰) نشان می دهد که افزایش عدد ناسلت با افزایش درصد حجمی نانوذرات در حالت های مختلف (حفره ها با چیدمانهای متفاوت اجزای گرمایی و تعداد گردابه های تشکیل شده متفاوت) با ضریب یکسانی صورت می گیرد.

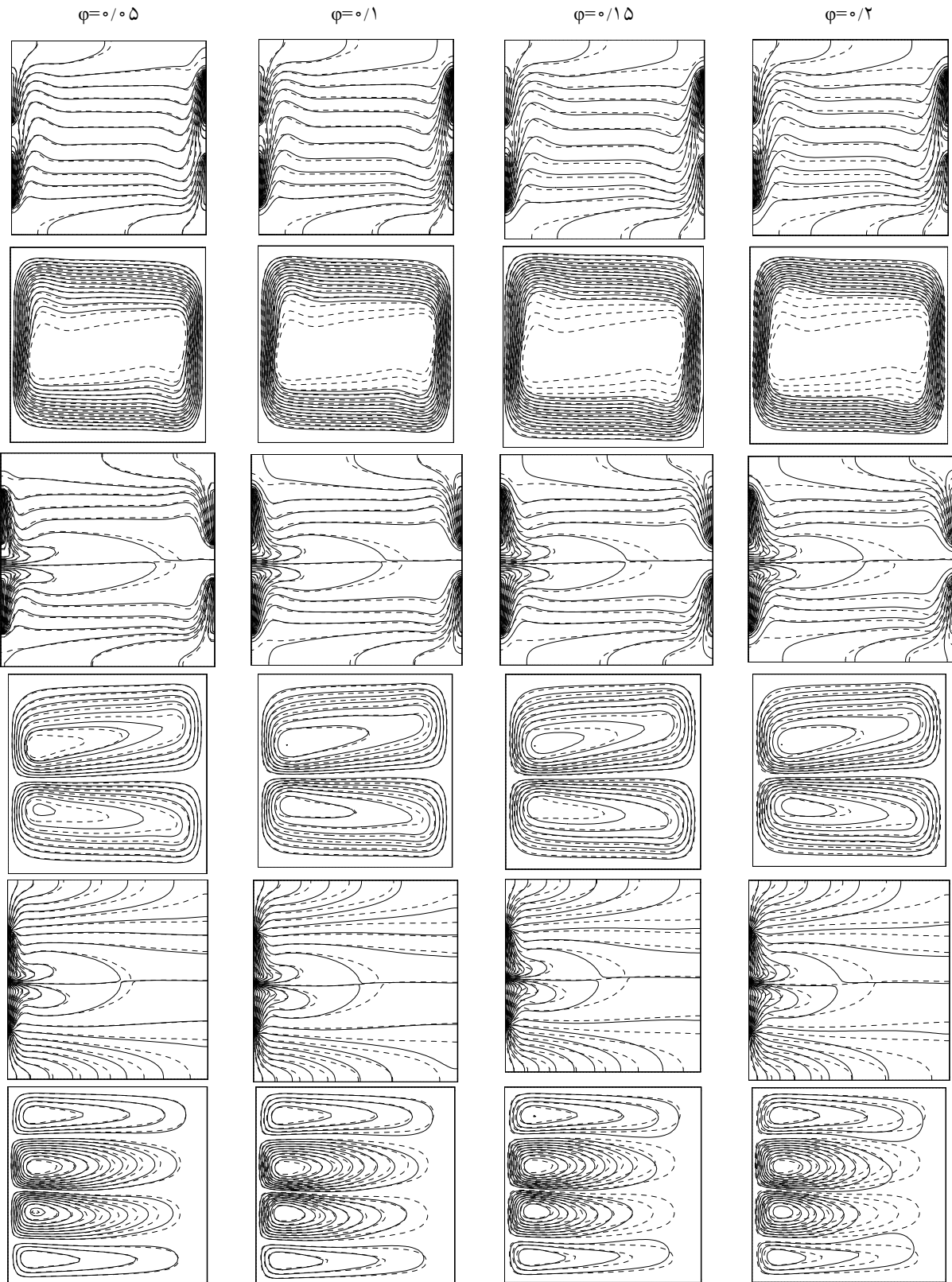
شده روی اجزای بین اجزای مجاور از بین می رود و در نتیجه میزان انتقال گرما افزایش می یابد.

(۳) انتقال گرما درون محفظه به دو ناحیه هدایتی و جابه جایی تقسیم می شود. در ناحیه اعداد رایلی کوچک که انتقال گرما هدایتی مکانیزم غالب است، با افزایش عدد رایلی، عدد ناسلت متوسط افزایش چندانی نخواهد داشت، اما در ناحیه اعداد رایلی بزرگ که انتقال گرمای جابه جایی مکانیزم غالب است، با افزایش عدد رایلی، عدد ناسلت متوسط به طور چشمگیری افزایش می یابد. همچنین با افزایش تعداد گردابه ها، گذار از هدایت به جابه جایی در اعداد رایلی بزرگتر رخ می دهد. برای حالت های (۱) و (۴) با وجود یک گردابه، نقطه گذار از هدایت به جابه جایی در نزدیکی $Ra=10^3$ رخ می دهد. در این شرایط به دلیل موافق بودن اثر شناوری اجزا، جریان سیال قدرت بیشتری یافته و بنابراین انتقال گرمای جابه جایی سریعتر حاکم می شود. در حالت (۲) با وجود یک گردابه و گذار از هدایت به جابه جایی در نزدیکی $Ra=10^4$ با وجود سه گردابه، نقطه گذار تا $Ra=10^5$ به تعویق می افتد. در حالت (۳) با وجود چهار گردابه و در حالت (۶) با وجود شش گردابه، گذار در $Ra=10^5$ رخ می دهد. تعویق گذار به اعداد رایلی بزرگتر به دلیل عدم توافق اثرات شناوری المانهای سرد و گرم بوده، که این پدیده، جابه جایی و قدرت جریان را تضعیف می سازد و در نتیجه حاکمیت مکانیزم هدایت بر انتقال گرمای تا اعداد رایلی بالاتر ادامه می یابد.

ب) بررسی اثر افزایش درصد حجمی نانوذرات بر نرخ انتقال گرمای

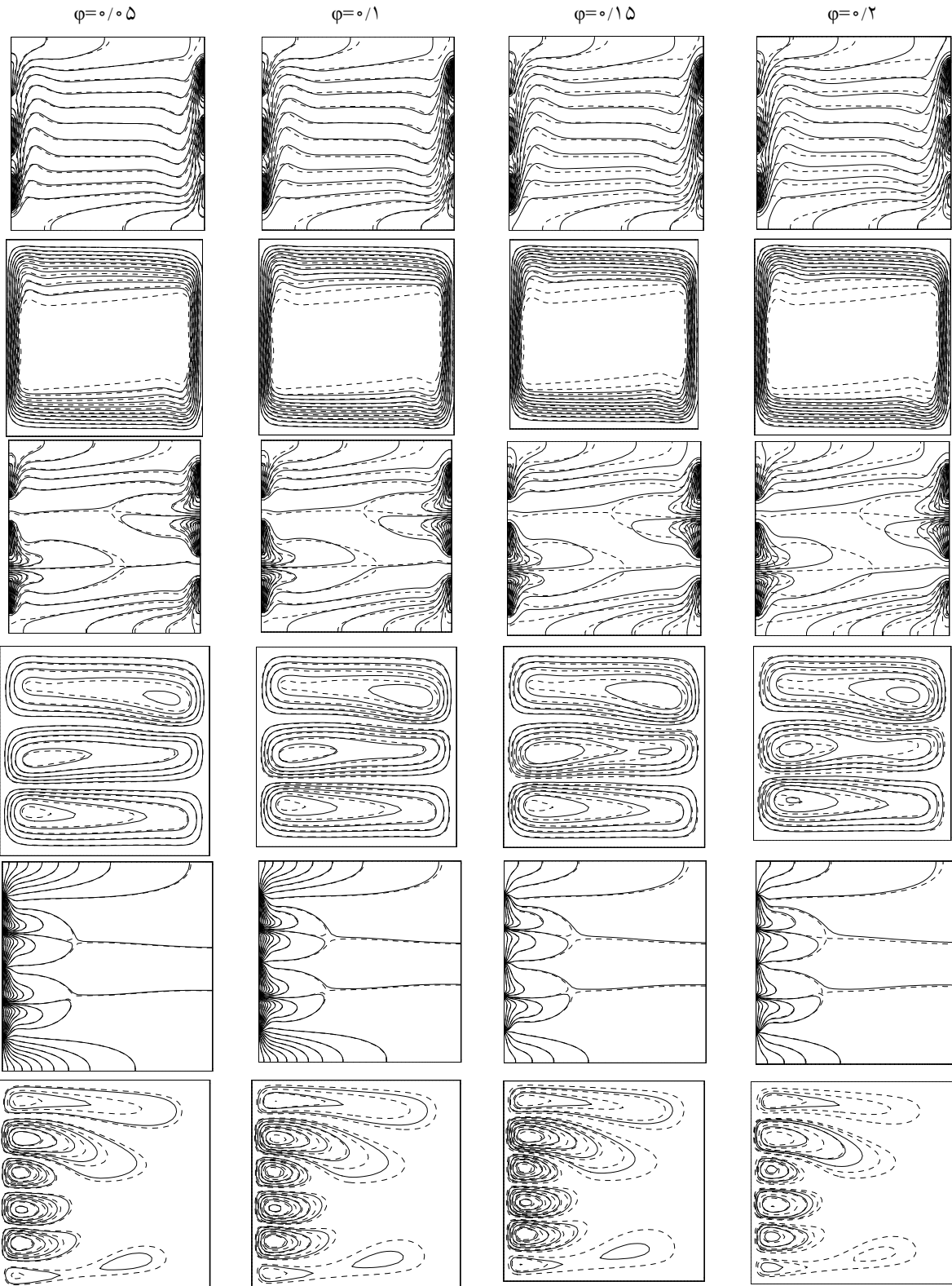
در شکل های (۸) و (۹) به ترتیب خطوط دما ثابت و خطوط جریان مربوط به محفظه با دو و سه جفت المان سرد و گرم به ازای غلظتها متفاوت نانوذرات در $Ra=10^6$ نشان داده شده و با خطوط مربوط به سیال پایه مقایسه شده است. همان گونه که مشاهده می شود، با افزایش غلظت حجمی نانوذرات، انحراف خطوط جریان از کانتورهای مربوط به سیال پایه بیشتر

حالات (۱) یک گردابه

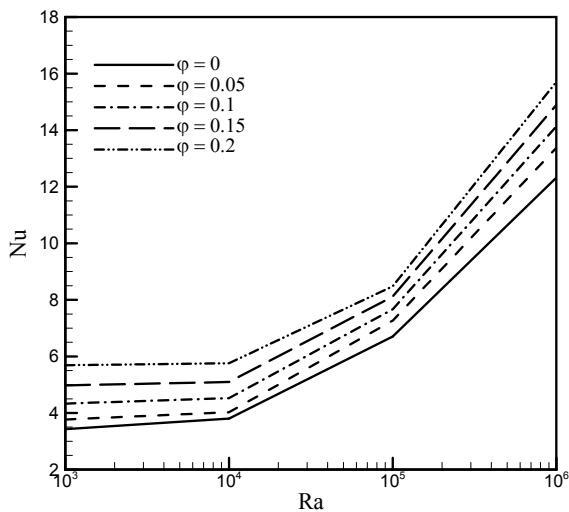


شکل ۸- مقایسه خطوط دمای ثابت و خطوط جریان بازی کسرهای حجمی مختلف نانوذرات برای محفظه با وجود دو جفت جزء سرد و گرم (خط چین: سیال خالص، خطوط توپر: نانوسیال)

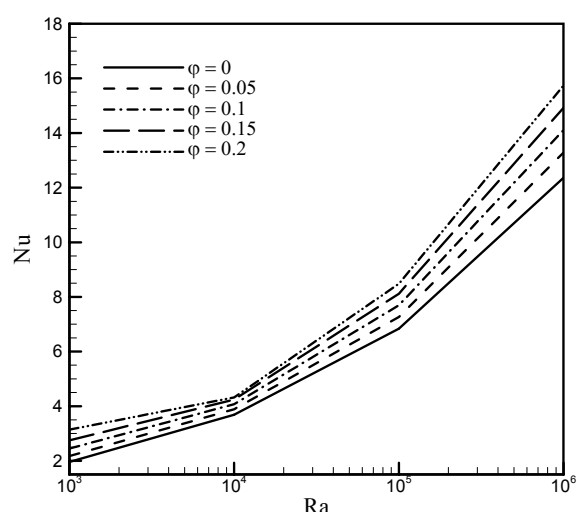
حالات (۴) یک گردابه



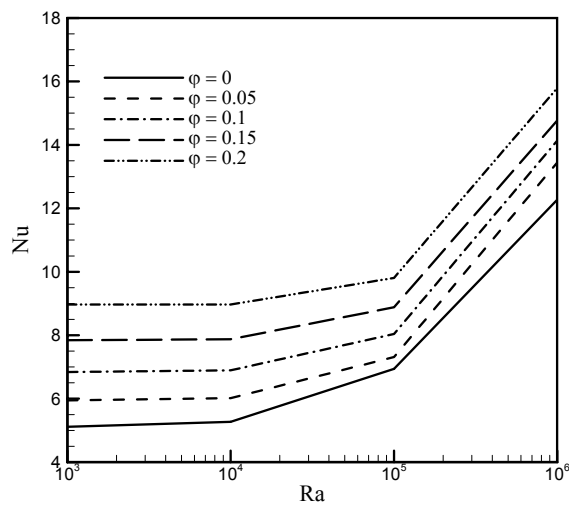
شکل ۹- مقایسه خطوط دماثابت و خطوط جریان بهازی کسرهای حجمی مختلف نانوذرات برای محفظه با وجود سه جفت المان سرد و گرم (خط چین: سیال خالص، خطوط توپر: نانوسیال)



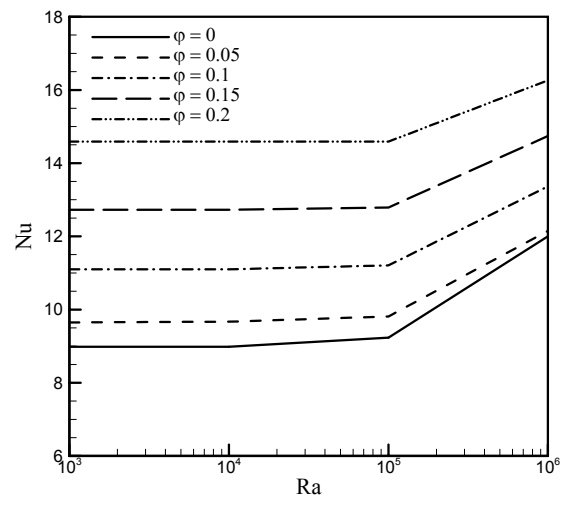
ب) حالت ۲، دو گردابه



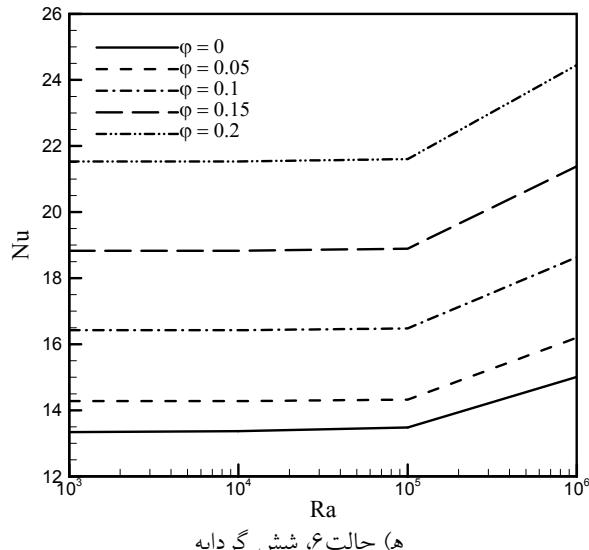
الف) حالت ۴، یک گردابه



د) حالت ۵، سه گردابه



ج) حالت ۳، چهار گردابه



ه) حالت ۶، شش گردابه

شکل ۱۰- اثر افزایش کسر حجمی نانوذرات بر تغییرات عدد ناسلت متوسط برحسب عدد رایلی

است، روند نزولی در مقدار درصد افزایش مشاهده نمی‌شود. همچنین از شکل (۱۲) پیداست که در عدد رایلی 10^3 بیشترین درصد افزایش مربوط به حالت (۵) با سه گردابه و در عدد رایلی 10^6 بیشترین درصد افزایش مربوط به حالت ۶ با شش گردابه است.

ج) مقایسه اثر استفاده از نانوسيال و افزایش تعداد گردابه‌ها بر میزان افزایش انتقال گرما

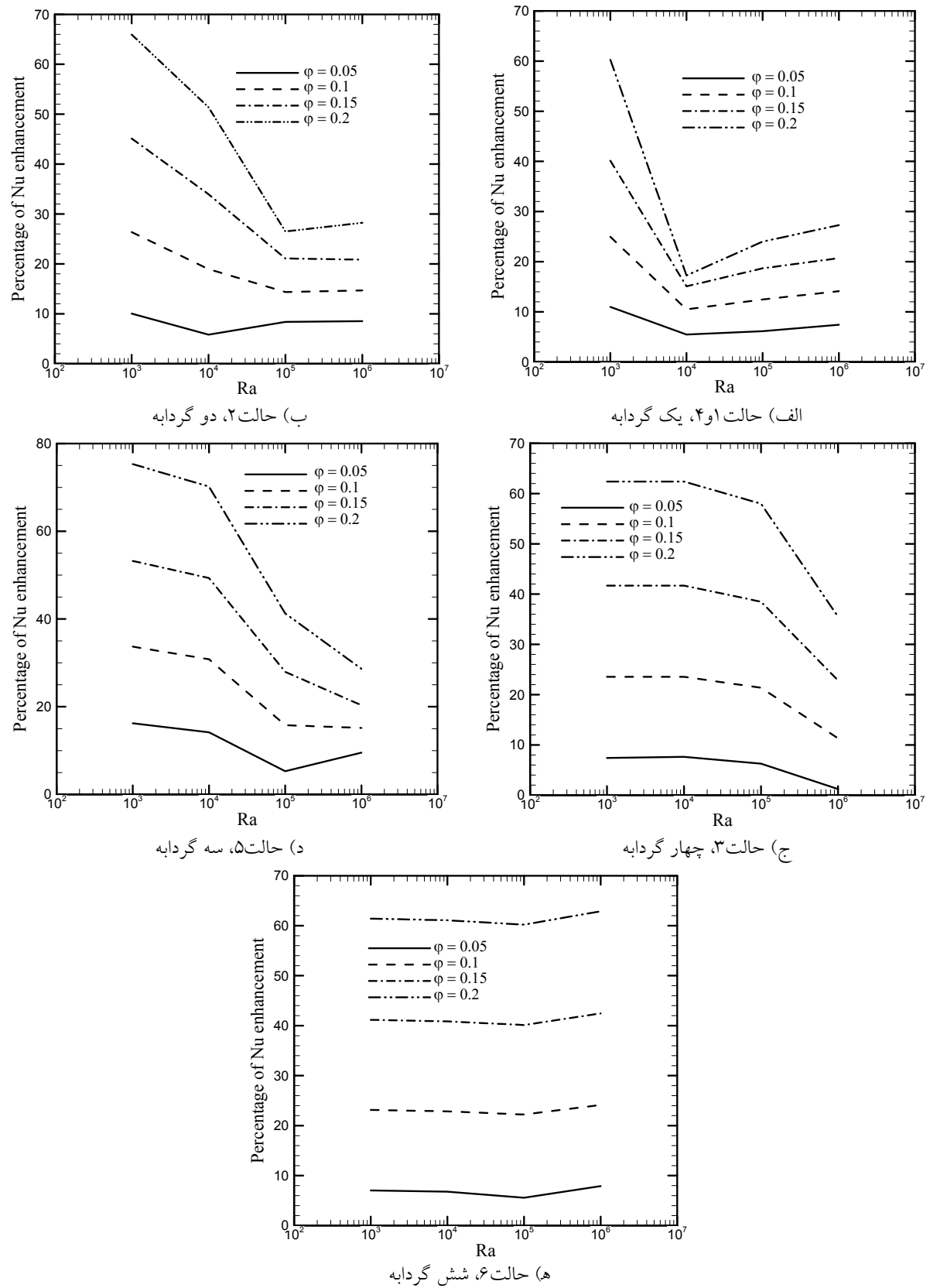
تاکنون مشخص شد که استفاده از نانوسيال و چینش اجزای گرمایی به گونه‌ای که تعداد گردابه بیشتری تشکیل شود، هر دو منجر به افزایش انتقال گرما می‌شود. در این بخش به مقایسه اثر این دو مورد پرداخته می‌شود. در شکل (۱۳) تغییرات عدد ناسلت متوسط بر حسب عدد رایلی برای سیال پایه و نانوسيال با $\varphi=0/2$ با یکدیگر مقایسه شده‌اند. با توجه به شکل (۱۳) مشخص است که عدد ناسلت نانوسيال با یک گردابه از عدد ناسلت مربوط به سیال پایه با ساختاری شامل یک و دو گردابه بیشتر است. همچنین عدد ناسلت نانوسيال با دو گردابه از عدد ناسلت سیال پایه با سه گردابه بیشتر است. بنابراین به عنوان یک نتیجه می‌توان بیان کرد که استفاده از نانوسيال نسبت به چند گردابه‌ای بودن ساختار جریان، تاثیر بیشتری بر نرخ انتقال گرما دارد. بنابراین با استفاده نانوسيال و ایجاد جریان با سلولهای کمتر می‌توان به عدد ناسلت بیشتری نسبت به سیال پایه با جریان شامل سلولهای بیشتر دست یافت. البته تحلیل تولید آنتروپی نیز باید در این دو مورد انجام گیرد تا حالت کارامدتر مشخص شود. این مورد نیاز به بررسی و تحقیق جداگانه‌ای دارد.

۵- جمع‌بندی

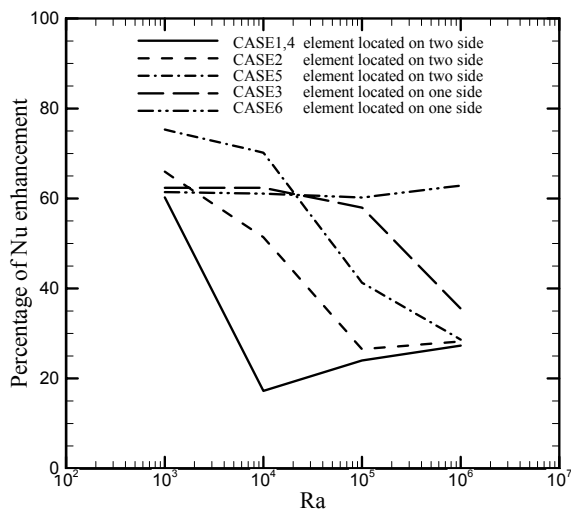
در تحقیق حاضر، جابه‌جایی طبیعی به وجود آمده از دو و سه جفت جزء سرد و گرم قرار گرفته بر روی دیوارهای محفظه مربعی پر شده از نانو سیال به روش عددی بررسی شد. توجه اصلی بر اندازه و چینش اجزا در محفظه و همچنین اثر

پارامتر دیگری که برای درک بهتر اثر اضافه شدن نانوذرات به سیال پایه مورد بررسی قرار می‌گیرد، درصد افزایش عدد ناسلت نانوسيال نسبت به سیال پایه (Δ) است که طبق معادله (۱۷) محاسبه می‌شود. نتایج مربوط به درصد افزایش عدد ناسلت برای حالت‌های مختلف در شکل (۱۱) ارائه شده است. همان‌طور که مشاهده می‌شود با افزایش φ در تمام اعداد رایلی، Δ نیز افزایش می‌یابد که نتیجه‌ای قابل انتظار است. در حالت‌های (۱) و (۴) (شکل ۱۱-الف)، مقدار Δ در عدد رایلی 10^4 دارای مقدار مینیمم است. در این حالتها، عدد رایلی 10^4 نقطه گذار از مکانیزم انتقال گرما هدایتی به مکانیزم جابه‌جایی است و چون در شرایط گذار، اثر هدایت کم می‌شود و جابه‌جایی نیز هنوز قدرت زیادی ندارد، تاثیر افزودن نانوذرات به سیال پایه، به اندازه تاثیری که در سایر اعداد رایلی مشاهده می‌شود، نخواهد بود. به همین صورت در حالت (۳) (شکل ۱۱-ج)، که پدیده گذار در نزدیکی عدد رایلی 10^6 رخ می‌دهد، مقدار مینیمم Δ در این عدد رایلی رخ می‌دهد. در حالت ۶ نیز به دلیل اینکه تقریباً در تمام محدوده اعداد رایلی، مکانیزم هدایت حاکم است، روند نزولی Δ مشاهده نمی‌شود.

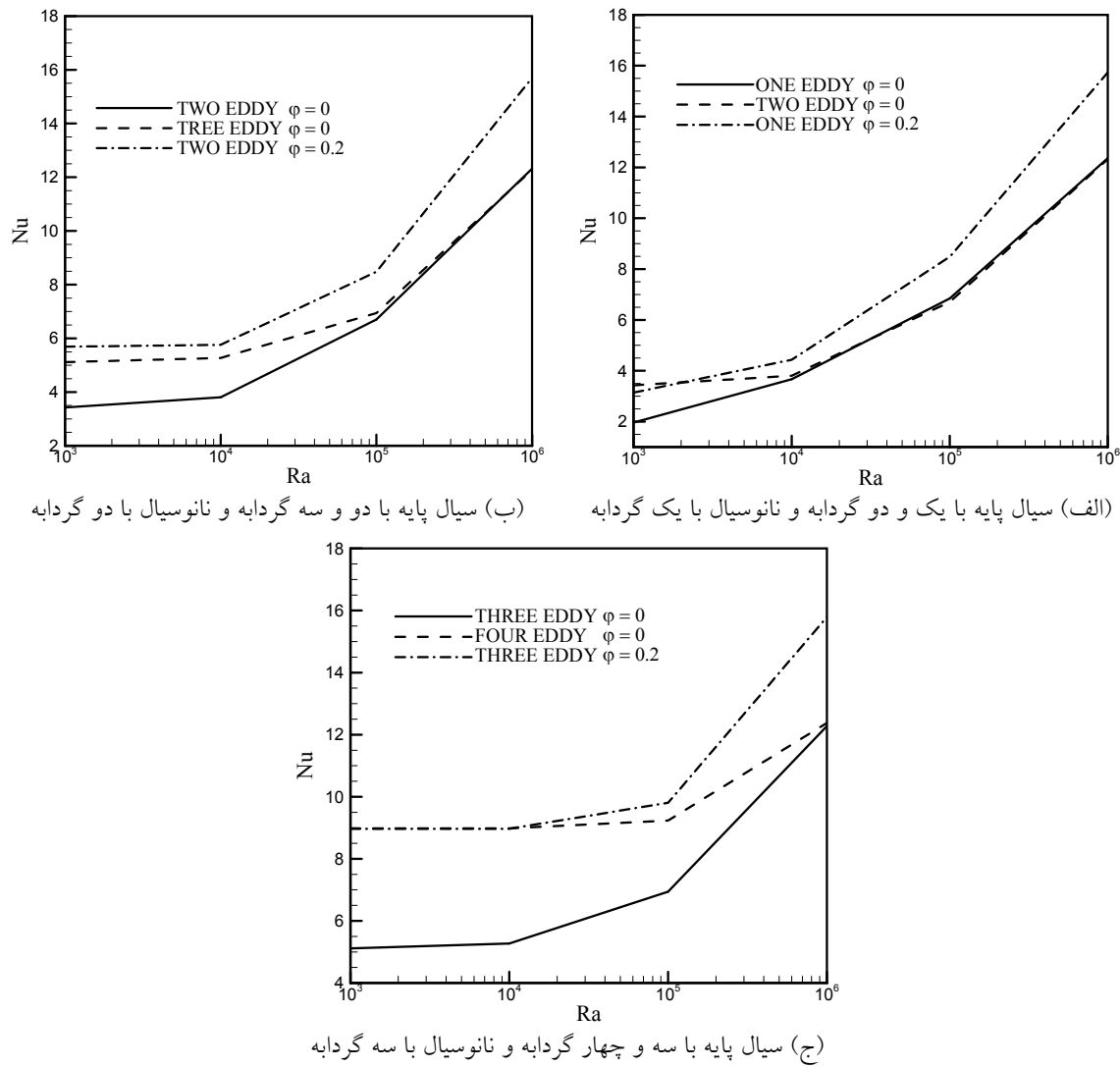
تغییرات Δ بر حسب عدد رایلی برای حالت‌های مختلف به ازای $\varphi=0/2$ در شکل (۱۲) مقایسه شده است. با توجه به این شکل می‌توان حالت‌های شش گانه مورد بررسی را در دو دسته طبقه‌بندی کرد. دسته اول شامل حالت‌های (۱)، (۲)، (۴) و (۵) که اجزای گرمایی بر روی دو دیواره قرار گرفته‌اند و دسته دوم شامل حالت‌های (۳) و (۶) که اجزای گرمایی تنها بر روی یک دیواره قرار گرفته‌اند. در دسته اول بیشترین میزان درصد افزایش عدد ناسلت در $Ra=10^3$ رخ می‌دهد و در سایر اعداد رایلی، این پارامتر کمتر از مقدار آن در عدد رایلی 10^3 خواهد بود. در دسته دوم، روند تغییرات Δ به گونه‌ای دیگر است. در این دسته، مقدار Δ در اعداد رایلی پایین از مقادیر مربوط به دسته اول کمتر است. در حالت (۶) که تقریباً در تمام محدوده اعداد رایلی رژیم هدایت حاکم



شکل ۱۱- مقایسه پارامتر درصد افزایش عدد ناسلت مربوط به نانو سیال نسبت به سیال پایه برای حالات مختلف



شکل ۱۲- تغییرات پارامتر درصد افزایش نسبت به تغییرات عدد رایلی در حالات مختلف بازای $\varphi=0/2$



شکل ۱۳- مقایسه تغییرات عدد ناسلت متوسط بر حسب رایلی برای سیال پایه و نانوسیال با $\varphi=0/2$

صورت یک در میان بر روی یک دیواره می‌توان باعث تشکیل تعداد گردابه بیشتر و در نتیجه نرخ انتقال گرمای بیشتر درون محفظه شد.

(۳) افزایش عدد ناسلت متوسط مربوط به نانو سیال نسبت به سیال پایه برای چیدمانهای متفاوت اجزای گرمایی روی دیواره‌ها، با ضریب یکسانی صورت خواهد گرفت.

(۴) تاثیر استفاده از نانو سیال بر افزایش انتقال گرمایی، بیشتر از تاثیر چند سلولی بودن ساختار جریان است. به عنوان مثال عدد ناسلت متوسط نانو سیال با $\varphi = 0/2$ و با ساختار یک گردابه‌ای از عدد ناسلت متوسط سیال پایه با ساختار یک و دو گردابه‌ای بیشتر است. بنابراین با استفاده نانو سیال و تولید جریان با سلولهای کمتر می‌توان به عدد ناسلت بیشتری نسبت به سیال خالص با جریان شامل سلولهای بیشتر دست یافت.

استفاده از نانو سیال با غلظتها متفاوت نانوذرات بوده و نتایج زیر حاصل شده است.

(۱) هنگامی که چینش اجزا از وضعیت مجزا روی دو دیواره عمودی به وضعیت یک در میان روی یک دیواره عمودی تغییر می‌کند، اثرات شناوری اجزا مخالف یکدیگر شده و تعداد گردابه‌ها درون محفظه بیشتر شده و در نتیجه انتقال گرمای افزایش می‌یابد. از سوی دیگر، اختلاط قوی میان گردابه‌ها باعث می‌شود بیشتر سیال درون محفظه، دمای یکنواخت و متوسطی داشته باشد.

(۲) انتقال گرمای افزایش می‌یابد به صورت سازگار با تعداد گردابه‌ها درون محفظه افزایش می‌یابد به صورتی که کمترین میزان انتقال گرمای مربوط به حالت (۱) با یک گردابه است و با افزایش گردابه‌ها به دو، سه، چهار و نهایتاً شش، میزان انتقال گرمای افزایش می‌یابد. می‌توان نتیجه گرفت که با تقسیم چشمها و چاهها به اجزای کوچکتر و قراردادن آنها به

مراجع

- Ostrach, S., "Natural Convection in Enclosures," *ASME J. Heat Transfer*, Vol. 110, pp. 1175–1190, 1988.
- Gebhart, B., Jaluria, Y., Mahajan, R. L., and Sammakia, B., *Buoyancy-Induced Flows and Transport*, Hemisphere Pub. Co. New York, NY, 1988.
- Davis, G., and Vahl, D., "Natural Convection of Air in Square Cavity: a Bench Mark Numerical Solution," *Int. J. for Numerical Method in Fluids*, Vol. 3, pp. 249–264, 1983.
- Davidson, L., "Calculation of the Turbulence Buoyancy-Driven Flow in a Rectangular Cavity Using an Efficient Solver and Two Different Low Reynolds Number k-e Turbulence Models," *Numer. Heat Transfer (A)* Vol. 18, pp. 129–147, 1990.
- Poujol, F. T., "Natural Convection of a High Prandtl Number Fluid in Cavity," *Int. Comm. Heat Mass Transfer*, Vol. 27, pp. 109–118, 2000.
- Ampofo, F., and Karayiannis, T. G., "Experimental Benchmark Data for Turbulent Natural Convection in an Air Filled Square Cavity," *Int. J. Heat Mass Transfer*, Vol. 46, pp. 3551–3572, 2003.
- Zahmatkesh, I., "On the Importance of Thermal Boundary Conditions in Heat Transfer and Entropy Generation for Natural Convection Inside a Porous Cavity," *Int. J. Therm. Sci.* Vol. 47, pp. 339–346, 2008.
- Ishihara, I., Matsumoto, R., and Senoo, A., "Natural Convection in a Vertical Rectangular Cavity with Localizing Heating and Cooling Zones," *Heat Mass Transfer*, Vol. 36, pp. 467–472, 2000.
- Sezai, I., and Mohamad, A. A., "Natural Convection From a Discrete Heat Source on the Bottom of a Horizontal Cavity," *Int. J. Heat Mass Transfer*, Vol. 43, pp. 2257–2266, 2000.
- Aydin, O., and Yang, W. J., "Natural Convection in Enclosures With Localized Heating From Below and Symmetrical Cooling From Sides," *Int. J. Numer. Meth. Heat Fluid Flow*, Vol. 10, pp. 518–529, 2000.
- Da Silva, A. K., Lorente, S., and Bejan, A., "Optimal Distribution of Discrete Heat Sources on a Wall with Natural Convection," *Int. J. Heat Mass Transfer*, Vol. 47, pp. 203–214, 2004.
- Sharif, M. A. R., and Mohammad, T. R., "Natural Convection in Cavities with Constant Flux Heating at the Bottom Wall and Isothermal Cooling from the Sidewalls," *Int. J. Therm. Sci.*, Vol. 44, pp. 865–878, 2005.
- Bazylak, A., Djilali, N., and Sinton, D., "Natural Convection in an Enclosure With Distributed Heat Sources," *Numer. Heat Transfer (A)*, Vol. 49, pp. 655–667, 2006.
- Nithyadevi, N., Kandaswamy, N. P., and Lee, J., "Natural Convection in a Rectangular Cavity With

- Partially Active Side Walls," *Int. J. Heat Mass Transfer*, Vol. 50, pp. 4688–4697, 2007.
15. Deng, Q. H., "Fluid Flow and Heat Transfer Characteristics of Natural Convection in Square Cavities Due to Discrete Source-Sink Pairs," *Int. J. Heat Mass Transfer*, Vol. 51, pp. 5949–5957, 2008.
 16. Maxwell, J. C., *Treatise on Electricity and Magnetism*, Oxford, Clarendon Press, 1873.
 17. Choi, U. S., "Enhancing Thermal Conductivity of Fluids with Nanoparticles, in: D.A. Siginer, H.P. Wang, (Eds), *Development and Application of Non-Newtonian Flows*, FED –VOL. 231, No. 66, pp. 99–105, 1995.
 18. Eastman, J. A., Choi, S. U. S., Li, S., Yu, W., and Thompson, L. J., "Anomalously Increased Effective Thermal Conductivities of Ethylene Glycol-Based Nanofluids Containing Copper Nano Particles," *Appl. Phys. Lett.*, Vol. 78, pp. 718–720, 2001.
 19. Khanafar, K., Vafai, K., and Lightstone, M., "Buoyancy-Driven Heat Transfer Enhancement in a Two-Dimensional Cavity Utilizing Nanofluids," *Int. J. Heat Mass Transfer*, Vol. 46, pp. 3639–3653, 2003.
 20. Jou, R. Y., and Tzeng, S. C., "Numerical Research of Nature Convective Heat Transfer Enhancement Filled With Nanofluids in Rectangular Enclosures," *Int. Commun. Heat Mass Transfer*, Vol. 33, pp. 727–736, 2006.
 21. Santra, A. K., Sen, S., and Chakraborty, N., "Study of Heat Transfer Augmentation in a Differentially Heated Square Cavity Using Copper-Water Nanofluid," *Int. J. Thermal Sciences*, Vol. 47, pp. 1113–1122, 2008.
 22. Oztop, H. F., and Abu-Nada, E., "Numerical Study of Natural Convection in Partially Heated Rectangular Enclosures Filled With Nanofluids," *Int. J. Heat and Fluid Flow*, Vol. 29, pp. 1326–1336, 2008.
 23. Ogut, E. B., "Natural Convection of Water-Based Nanofluids in an Inclined Cavity With a Heat Source," *Int. J. Thermal Sciences*, Vol. 48, pp. 2063–2073, 2009.
 24. Abu-Nada, E., and Oztop, H. F., "Effects of Inclination Angle on Natural Convection in Enclosures Filled with Cu–Water Nanofluid," *Int. J. Heat and Fluid Flow*, Vol. 30, pp. 669–678, 2009.
 25. Aminossadati, S.M., and Ghasemi, B., "Natural Convection Cooling of a Localized Heat Source at the Bottom of a Nanofluid-Filled Cavity," *European Journal of Mechanics B/Fluids*, Vol. 28, pp. 630–640, 2009.
 26. Ghasemi B., and Aminossadati S.M., "Periodic Natural Convection in a Nanofluid-Filled Cavity with Oscillating Heat Flux," *Int. J. Thermal Sci.*, Vol. 49, pp. 1–9, 2010.
 27. Kumar, S., Prasad S.K., and Banerjee J., "Analysis of Flow and Thermal Field in Nanofluid Using a Single Phase Thermal Dispersion Model," *Applied Mathematical Modeling*, Vol. 34, pp. 573–592, 2010.
 28. Mahmoudi, A.H., Shahi, M., Honarbakhsh Raouf, A., and Ghasemian, A., "Numerical Study of Natural Convection Cooling of Horizontal Heat Source Mounted in a Square Cavity Filled with Nanofluid," *International Communications in Heat and Mass Transfer*, Vol. 37, pp. 1135–1141, 2010.
 29. Corcione, M., "Heat Transfer Features of Buoyancy-Driven Nanofluids Inside Rectangular Enclosures Differentially Heated at the Sidewalls," *Int. J. Therm. Sci.*, Vol. 49, pp. 1536–1546, 2010.
 30. Sheikhzadeh, G.A., Arefmanesh, A., Kheirkhah, M.H., and Abdollahi, R., "Natural Convection of Cu-Water Nanofluid in a Cavity with Partially Active Side Walls," *European Journal of Mechanics B/Fluids*, in press.
 31. Brinkman H.C, "The Viscosity of Concentrated Suspensions and Solution," *J. Chem. Phys*, Vol. 20, pp. 571–581, 1952.
 32. Maxwell, J. A., *Treatise on Electricity and Magnetism*, Second ed. Oxford University Press, Cambridge, UK, 1904.
 33. Patankar, S. V., *Numerical Heat Transfer and Fluid Flow*, Hemisphere, Washington, DC, 1980.
 34. De Vahl Davis, G., "Natural Convection of air in a Square Cavity: a Bench Mark Numerical Solution," *Int. J. Numer. Meth. Fluids*, Vol. 3, pp. 249–264, 1983.